

УДК 534.2.517.9

РАССЕЯНИЕ ЗАПАЗДЫВАЮЩИХ ВОЛНОВЫХ ПОЛЕЙ НА ТОЧЕЧНОЙ АКУСТИЧЕСКОЙ НЕОДНОРОДНОСТИ

© 2020 г. К. В. Дмитриев¹, Е. В. Фадеев¹, О. Д. Румянцева¹. *

¹Федеральное государственное бюджетное образовательное учреждение высшего образования “Московский государственный университет имени М.В. Ломоносова”, физический факультет, Москва, Россия

*E-mail: burov@phys.msu.ru

Поступила в редакцию 26.08.2019 г.

После доработки 13.09.2019 г.

Принята к публикации 28.10.2019 г.

Рассмотрено рассеяние монохроматической волны на неоднородности с малым волновым размером. Введены коэффициенты рассеяния, и получены множества их допустимых значений в отсутствие и в присутствии поглощения внутри неоднородности. Для различных значений коэффициентов рассеяния проанализировано решение обратной задачи рассеяния, с точки зрения адекватности результата восстановления и его устойчивости.

DOI: 10.31857/S036767652002009X

ВВЕДЕНИЕ

Распространение акустических волн в метаматериале можно рассматривать, с одной стороны, как процесс, протекающий в однородной среде с некоторыми эффективными параметрами. С другой стороны, тот же процесс может быть описан с точки зрения многократного рассеяния волн на всех элементах метаматериала. Представляет интерес тот случай, когда размер элемента метаматериала много меньше длины волны в нем (случай малого волнового размера) — именно тогда среду можно описывать с помощью эффективных параметров.

Одиночный элемент метаматериала в виде квазиточечной неоднородности с плотностью $\rho(\vec{z})$ и фазовой скоростью звука $c(\vec{z})$ интересен при решении как прямой, так и обратной задач рассеяния. Показано [1–3], что фаза и амплитуда поля, рассеянного такой неоднородностью, являются взаимозависимыми. Это накладывает ограничения на максимальную мощность рассеянного поля [4]. При решении обратной задачи рассеяния такая взаимосвязь позволяет не измерять фазу рассеянного поля — достаточно данных только об абсолютной величине амплитуды рассеяния [5].

Акустические поля, рассеянные неоднородностями плотности $\rho(\vec{z})$ и сжимаемости $\eta(\vec{z}) \equiv 1/(\rho(\vec{z})c^2(\vec{z}))$, можно разложить в ряд, каждый член которого соответствует определенному порядку мультипольности (т.е. определенному характеру угловой зависимости поля). В случае

одиночной квазиточечной неоднородности, линейный размер которой много меньше длины волны, при описании оказывается возможным ограничиться монопольным и дипольным порядками мультипольности [3], за исключением узких диапазонов значений характеристик рассеивателя, когда возникают резонансы.

Если среда в присутствии рассеивателя однородна по плотности, то может быть достаточно только одного монопольного члена [1]. Именно такой случай рассматривается ниже. Пусть первичные источники создают в фоновой (когда рассеиватель отсутствует) однородной непоглощающей среде падающее акустическое поле $u_0^\pm(\vec{z})$. Верхними индексами “+” и “–” здесь и далее обозначаются величины, относящиеся к запаздывающему полю, расходящемуся на бесконечности и удовлетворяющему принципу излучения Зоммерфельда, и опережающему полю, сходящемуся с бесконечности и не удовлетворяющему принципу излучения Зоммерфельда, соответственно. Тогда в присутствии в области \mathfrak{X} рассеивателя в виде квазиточечной неоднородности с центром в точке \vec{r}_0 полное акустическое поле $u^\pm(\vec{z})$ в произвольной точке \vec{z} подчиняется уравнению Липпмана–Швингера:

$$u^\pm(\vec{z}) = u_0^\pm(\vec{z}) + \int_{\mathfrak{X}} G_0^\pm(\vec{z} - \vec{r})v(\vec{r})u^\pm(\vec{r})d\vec{r}. \quad (1)$$

Здесь G_0^+ и G_0^- — запаздывающая и опережающая функции Грина однородной фоновой среды, ана-

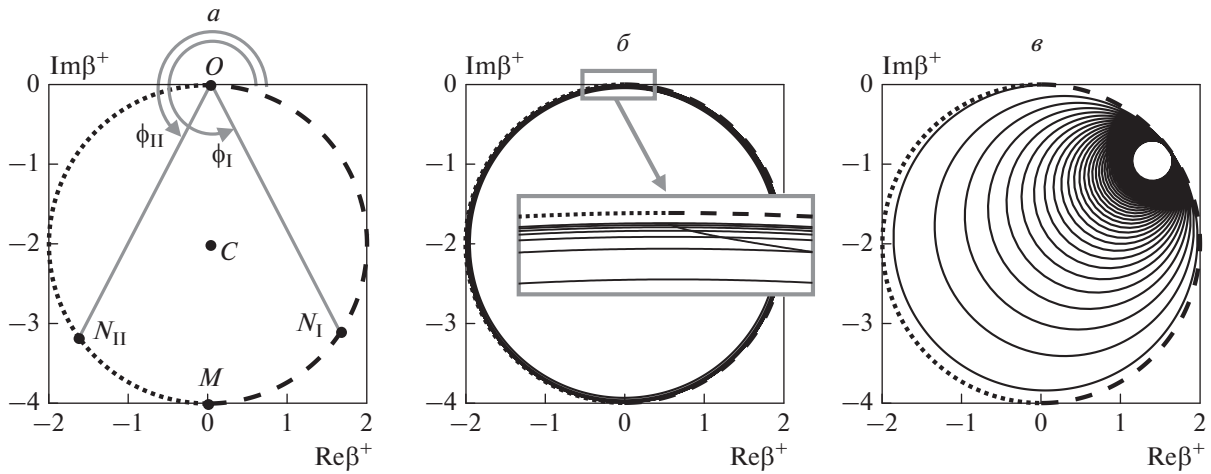


Рис. 1. Допустимые значения коэффициента рассеяния β^+ на комплексной плоскости для монопольной квазиточечной неоднородности. В отсутствие поглощения (а) семейство I значений β^+ изображено пунктирной линией; семейство II – линией, составленной из точек. В случае неоднородности с поглощением возможные значения β^+ изображены тонкой сплошной линией при фиксированном $k_1 R$ (б) или $k_0 R$ (в).

литический вид которых хорошо известен; функция рассеивателя задается в виде

$$v(\vec{r}) = k_0^2 - k_1^2(\vec{r}); \quad (2)$$

k_0 и $k_1(\vec{r})$ – волновые числа, соответственно, вне (т.е. в фоновой среде) и внутри рассеивателя. Поскольку неоднородность является квазиточечной, и предполагается, что рассеянное ею поле $u_{sc}^\pm(\vec{z}) \equiv u^\pm(\vec{z}) - u_0^\pm(\vec{z})$ имеет только монопольную компоненту, выражение (1) можно упростить. Для этого вводятся комплексные коэффициенты рассеяния β^+ и β^- так, чтобы было справедливо соотношение $v(\vec{r})u^\pm(\vec{r}) = \beta^\pm \delta(\vec{r} - \vec{r}_0)u_0^\pm(\vec{r})$ [1, 2], откуда

$$u^\pm(\vec{z}) = u_0^\pm(\vec{z}) + G_0^\pm(\vec{z} - \vec{r}_0)\beta^\pm u_0^\pm(\vec{r}_0). \quad (3)$$

Отличие выражения (3) от уравнения Липпмана–Швингера (1) состоит в том, что в правой части (3) не содержится неизвестное поле внутри рассеивателя $u^\pm(\vec{r}_0)$. Процессы многократного рассеяния учитываются при этом с помощью коэффициентов β^\pm , которые зависят от параметров рассеивателя, но не явно, и для определения значений β^\pm необходимо, в общем случае, выполнить расчеты для заданной функции $v(\vec{r})$. Эти коэффициенты подчиняются соотношению

$$\frac{1}{\beta^-} - \frac{1}{\beta^+} = -\frac{i}{2}; \quad (4)$$

здесь и далее рассматривается двумерный случай при временной зависимости как запаздывающих, так и опережающих полей $\sim \exp(-i\omega t)$.

НЕПОГЛОЩАЮЩИЙ РАССЕИВАТЕЛЬ

В отсутствие поглощения β^+ и β^- являются комплексно сопряженными: $\beta^\pm = |\beta| \exp(\pm i\phi)$, где $|\beta|$ и $\pm\phi$ – модуль (амплитуда) и фаза коэффициентов рассеяния. Тогда из (4) следует, что между амплитудой и фазой имеет место связь [1]:

$$|\beta| = -4 \sin \phi. \quad (5)$$

Геометрическое место точек на комплексной плоскости, соответствующих допустимым значениям (5) комплексного коэффициента рассеяния β^+ для запаздывающего поля, представляет собой окружность, проходящую через начало координат O и имеющую центр в точке C с координатами $(0; -2)$ (рис. 1а). В этой точке O будет $\beta^+ = 0$, что означает отсутствие рассеянного поля $u_{sc}^\pm(\vec{z})$. Тогда $|\beta| = 0$, $\phi = \pi n$, где $n \in \mathbb{Z}$; причем случай $\phi = 0$ означает отсутствие рассеивателя, а случай $\phi = \pi$ при $n \neq 0$ соответствует сильным рассеивателям, которые, однако, не создают рассеянного наружу поля.

Одинаковая амплитуда коэффициента рассеяния $|\beta|$ достигается в двух различных точках окружности (например, точки N_I и N_{II} на рис. 1а). По-

этому вводятся два семейства рассеивателей: для семейства I выбирается решение уравнения (5) относительно ϕ в виде $\phi_I = \arcsin(-|\beta|/4) + 2\pi n$; для семейства II – в виде $\phi_{II} = \pi - \arcsin(-|\beta|/4) + 2\pi n$, где $n \in \mathbb{Z}$. На рис. 1а этим семействам I и II соответствуют правая и левая половины окружности. Максимальная амплитуда коэффициента рассеяния $|\beta| = 4$ достигается в точке M (рис. 1а) при $\phi = 3\pi/2 + 2\pi n$, $n \in \mathbb{Z}$.

Представляет интерес обратная задача – восстановление характеристик рассеивателя по проведенным измерениям (вне рассеивателя, т.е. при $\vec{z} \notin \mathfrak{R}$) рассеянного им поля $u_{sc}^{\pm}(\vec{z})$. Слабые квазиточечные рассеиватели, которые слабо искажают падающее на них поле, обладают близкой к нулевой амплитудой $|\beta|$ и фазой, близкой к 0 для семейства I, и близкой к π для семейства II. При этом коэффициент рассеяния β^+ лежит вблизи точки O . Именно такое скачкообразное изменение фазы на π обуславливает, с физической точки зрения, деление рассеивателей на два семейства. Слабые рассеиватели должны восстанавливаться хорошо. Квазиточечные рассеиватели с коэффициентом β^+ , лежащим вблизи точки M , являются, наоборот, очень сильными (сильно искажают падающее поле); как следствие, их восстановление в монохроматическом режиме сталкивается с проблемами неединственности и неустойчивости [6]. Вообще, к сильным относятся и другие рассеиватели – с меньшим $|\beta|$, но $|\phi| > 2\pi$. С другой стороны, на первый взгляд кажется, что рассеиватели семейств I и II с одинаковой амплитудой $|\beta|$ и соответствующей фазой $\phi_I = -\arcsin(|\beta|/4)$ и $\phi_{II} = \pi + \arcsin(|\beta|/4)$ должны иметь близкую силу и, тем самым, восстанавливаться с примерно одинаковым качеством. Однако это не так, и данная ситуация будет обсуждаться ниже.

Для слабых рассеивателей можно применить в исходном уравнении Липпмана–Швингера (1) борновское приближение $u^{\pm}(\vec{r}) \approx u_0^{\pm}(\vec{r})$ и, тем самым, с учетом (3), получить оценку $\beta^+ \approx \int_{\mathfrak{R}} v(\vec{r}) d\vec{r} = \int_{\mathfrak{R}} (k_0^2 - k_1^2(\vec{r})) d\vec{r} \approx \pi R^2 (k_0^2 - k_{1,avg}^2)$. Здесь R и $k_{1,avg}$ – характерный радиус неоднородности и среднее волновое число внутри нее. Если скорость звука внутри рассеивателя больше фоновой (рассеиватель дефокусирующий), то $k_{1,avg} < k_0$ и получается $\beta^+ > 0$ – рассеиватель относится к семейству I. Аналогично, если скорость звука внут-

ри рассеивателя меньше фоновой (рассеиватель фокусирующий), то $k_{1,avg} > k_0$ и $\beta^+ < 0$ – рассеиватель относится к семейству II. Меньшая, по сравнению с фоновой, скорость звука приводит к концентрации поля внутри рассеивателя, фокусировке поля, что увеличивает силу рассеивателя. Наоборот, большая скорость звука приводит к дефокусировке поля и, тем самым, уменьшает силу рассеивателя. Поэтому для одного и того же значения $|\beta|$ рассеиватели семейства II при $\phi_{II} = \pi + \arcsin(|\beta|/4)$ оказываются более сильными, чем рассеиватели семейства I при $\phi_I = -\arcsin(|\beta|/4)$, и восстановление рассеивателей семейства II более проблематично. Чем больше фиксированное значение $|\beta|$, тем больше различие по силе между соответствующей парой рассеивателей из семейств I и II.

Возможен подход к анализу рассеянного неоднородностью поля с точки зрения значения дополнительного набега фазы $\Delta\psi$, который создает неоднородность для распространяющегося через нее поля. Этот дополнительный набег при распространении волны вдоль центрального сечения неоднородности оценивается как

$$\Delta\psi = \int_{-R}^R (k(\vec{r}) - k_0) dl_{\vec{r}} \approx 2R(k_{1,avg} - k_0), \quad (6)$$

где $dl_{\vec{r}}$ – длина элемента траектории в окрестности точки \vec{r} . Для дальнейшего рассмотрения важно уточнить понятие “малый волновой размер” неоднородности, поскольку такой размер можно задать двумя различными способами. Так, “внутренний” волновой размер $2k_{1,avg}R$ связан с длиной волны внутри неоднородности. “Внешний” волновой размер $2k_0R$ связан с длиной волны в фоновой среде, окружающей неоднородность.

Когда $k_{1,avg} \ll k_0$, т.е. рассеиватель относится к семейству I, из (6) вытекает $\Delta\psi \approx -2k_0R$. Тогда, если фиксировать “внешний” волновой размер неоднородности или даже рассматривать область его малых значений $k_0R \ll 1$, то будет $|\Delta\psi| \ll 1$ – не удастся получить все допустимые значения набега фазы, которые характерны для семейства I. Таким образом, при рассмотрении семейства I целесообразно фиксировать малое значение именно “внутреннего” волнового размера неоднородности $2k_{1,avg}R \ll 1$ и варьировать $\frac{k_0}{k_{1,avg}} > 1$ (т.е. $\frac{k_{1,avg}}{k_0} < 1$).

Когда, напротив, $k_{1,avg} \gg k_0$, т.е. рассеиватель относится к семейству II, будет $\Delta\psi \approx 2k_{1,avg}R$. В этом случае, чтобы иметь возможность получить все значения $\Delta\psi$, характерные для семейства II,

следует фиксировать малое значение “внешнего” волнового размера неоднородности $2k_0R \ll 1$ и варьировать $\frac{k_{1\text{avg}}}{k_0} > 1$.

Вопросы, связанные с восстановлением непоглощающих рассеивателей семейства I, исследовались в [7]. В [8] приведены результаты восстановления непоглощающих рассеивателей обоих семейств с помощью двумерного алгоритма Новикова [9–11] в монохроматическом режиме, однако без обсуждения физических причин, приводящих к различию качества восстановления. В [8] показано, что при фазе $\phi_{II} = 235.5^\circ$ (точка N_{II} на рис. 1а, достаточно далекая от точки M) восстановленная оценка $\hat{v}(\vec{r})$ рассеивателя семейства II представляет собой узкий пик (с шириной $\cong \lambda_0/12$ по уровню 0.7, где λ_0 – длина волны в фоновой среде) с большой амплитудой, причем отрицательной ($\hat{v} < 0$). При незначительном увеличении фазы до $\phi_{II} = 237.0^\circ$ амплитуда пика увеличивается примерно в три раза. При этом ширина пика сужается до $\cong \lambda_0/20$, что гораздо меньше разрешающей способности двумерного алгоритма Новикова, близкой к $\lambda_0/3$ [12]. Тем самым, полученная оценка рассеивателя не может считаться достоверной. Как показало исследование, причиной ошибки в оценке служит помеха, которая вызвана присутствием существенного рассеяния назад [13], создаваемого квазиточечными рассеивателями, в сочетании с большой силой рассматриваемых рассеивателей семейства II. Негативный фактор в виде помехи такого рода является общим для всех алгоритмов решения обратных задач рассеяния. Уменьшить, в той или иной мере, влияние данной помехи можно, если ввести угловую фильтрацию данных рассеяния. Для этого обобщенная амплитуда рассеяния $h(\varphi, \varphi')$, вычисляемая из экспериментальных данных на одном из этапов алгоритма Новикова, умножается на функцию фильтра $F(|\varphi - \varphi'|)$, т.е. $h_{\text{filtr}}(\varphi, \varphi') = h(\varphi, \varphi')F(|\varphi - \varphi'|)$, где φ – угол падения эффективной плоской волны на рассеиватель; φ' – угол приема соответствующей рассеянной волны в дальней зоне. Функция фильтра ослабляет вклад рассеяния назад за счет того, что $F(|\varphi - \varphi'|) \rightarrow 0$ при $|\varphi - \varphi'| \rightarrow \pi$. Применение такой фильтрации позволяет улучшать результат восстановления рассеивателей средней силы и сильных. В частности, существенно ослабляются заведомо ложные компоненты пространственного спектра восстановленной оценки $\hat{v}(\vec{r})$, лежащие вне круга радиуса $2k_0$. Кроме того, улучшается обусловленность систем уравнений, решаемых при восстановлении, и, как следствие, улучшается устойчивость

оценки $\hat{v}(\vec{r})$. При этом вышеупомянутые оценки в виде нефизически узких пиков расширятся.

В то же время, при восстановлении рассеивателей семейства I амплитудное значение оценки $\hat{v}(\vec{r})$ положительно [7, 8], и в [8] был отмечен следующий эффект. Когда амплитуда коэффициента рассеяния $|\beta|$ приближается к максимально допустимой (например, рассеиватель с $|\beta| = 3.99985$, $\phi_1 = -89.50^\circ$), амплитудное значение оценки $\hat{v}(\vec{r})$ оказывается больше, чем k_0^2 . Поскольку, согласно (2), $v(\vec{r}) = k_0^2 - k_1^2$, то в [8] говорится, что результат $\hat{v} > k_0^2$ означает, что $k_1^2 < 0$, т.е. рассеиватель не может интерпретироваться как непоглощающий рефракционный рассеиватель. Однако применение на этапе восстановления $\hat{v}(\vec{r})$ вышеупомянутого углового фильтра $F(|\varphi - \varphi'|)$ показало, что значение $\hat{v} > k_0^2$ в отсутствие фильтрации обусловлено не особыми физическими свойствами рассеивателя, а, как и для рассеивателей семейства II, помехой в виде сильного рассеяния назад в сочетании с сильно выраженными эффектами многократного рассеяния волновых полей.

Соотношение (5) справедливо в отсутствие поглощения как в фоновой среде, так и внутри неоднородности. В квантовой механике существуют похожие соотношения (оптическая теорема), которые также остаются справедливыми при отсутствии захвата частиц рассеивающим центром. Однако на практике акустические рассеиватели часто обладают поглощением, и, тем самым, встает вопрос о видоизменении соотношения (5) и геометрического места точек на комплексной плоскости, описывающего возможные значения β^+ в этом случае. Соотношение связи (4) между β^+ и β^- для монополюсного квазиточечного рассеивателя в присутствии поглощения остается без изменений, позволяя, при необходимости, найти β^- из β^+ .

Для анализа этих видоизменений рассматривалась двумерная задача рассеяния падающей акустической волны круглым однородным цилиндром; такая задача имеет точное аналитическое решение [14]. Волновое число внутри цилиндра задавалось как $k_1 = k_1' + ik_1''$, где действительная часть $k_1' = \omega/c_1$ связана со скоростью звука в цилиндре c_1 , а мнимая часть k_1'' соответствует амплитудному коэффициенту поглощения цилиндра. Радиус цилиндра $R \rightarrow 0$. Если при этом $k_0 = \text{const}$ и $k_1 = \text{const}$, то получается, что набег фазы, рассчитанный согласно (6) как $\Delta\psi = 2R(k_1 - k_0)$, будет очень мал: $\Delta\psi \rightarrow 0$ (тогда и $\beta^+ \rightarrow 0$), и рассеиватель является очень слабым.

Более интересны результаты, которые можно получить (как в отсутствие поглощения, так и в его присутствии), если при уменьшении радиуса цилиндра фиксировать, в одном случае, $k_1 R$, а в другом $k_0 R$. Тогда можно рассматривать коэффициент рассеяния β^+ как функцию от k_1'/k_0 . Одновременно необходимо контролировать рассеянное поле на предмет наличия дипольной, квадрупольной и высших компонент мультипольности, поскольку в случае присутствия таких компонент единственного коэффициента β^+ , ответственного за монополярное рассеяние, недостаточно, и требуется уточнение математического аппарата [2, 3].

В первом случае в отсутствие поглощения ($k_1'' = 0$) фиксировалось $k_1 R = \text{const}$. При $k_1 \geq k_0$ рассеяние монополярное, но коэффициент рассеяния $\beta^+ \approx 0$ (ближайшая левая окрестность точки O на рис. 1а); рассеиватель оказывается очень слабым. При уменьшении k_1 ($k_1 < k_0$) амплитуда коэффициента рассеяния $|\beta|$ растет, а точка, изображающая значение β^+ на рис. 1а, двигается по окружности по часовой стрелке, что соответствует значениям β^+ семейства I. Однако, начиная с некоторого значения k_1 (например, $k_1 \approx 0.1k_0$ при $k_1 R = 2\pi/128$; соответствующий коэффициент рассеяния имеет $|\beta| = 0.6238$, $\phi \equiv \phi_1 = -8.97^\circ$) и меньших значениях k_1 , оказывается существенным рассеяние высших порядков мультипольности; поэтому рассматриваемая модель чисто монополярного рассеяния становится неправомерной. Таким образом, семейство I значений β^+ даже для интервала $-\pi/2 \leq \phi_1 \leq 0$ описывается цилиндрическими рассеивателями не полностью.

Во втором случае в отсутствие поглощения фиксировалось $k_0 R = \text{const}$. При $k_1 \leq k_0$ рассеяние монополярное, но $\beta^+ \approx 0$ (ближайшая правая окрестность точки O на рис. 1а). С ростом k_1 ($k_1 > k_0$) амплитуда коэффициента рассеяния $|\beta|$ растет, а точка, изображающая значение β^+ на рис. 1а, двигается по окружности против часовой стрелки. Эта точка пробегает целиком значения β^+ семейства II и (например, начиная с $k_1 \approx 15.7k_0$ при $k_0 R = 2\pi/128$) часть значений β^+ семейства I. При дальнейшем росте k_1 ($k_1 > 48.9k_0$ при $k_0 R = 2\pi/128$) возникает заметное рассеяние дипольного и квадрупольного порядков.

РАССЕИВАТЕЛЬ С ПОГЛОЩЕНИЕМ

Наличие поглощения ($k_1'' \neq 0$) приводит к тому, что коэффициент β^+ перестает лежать на окружности. В первом случае фиксировалось $k_1' R = 2\pi/128$, и варьировалась действительная часть k_1' волнового числа $k_1 = k_1' + 0.5ik_0$ (т.е. здесь $k_1''/k_0 = 0.5$). Геометрическое место точек, изображающих коэффициент β^+ при $k_0/k_1' \in [1; +\infty)$, представляет собой сложную кривую (рис. 1б; в том числе, выноска на рис. 1б, показывающая фрагмент в увеличенном масштабе). Эта кривая сосредоточена, однако, возле изначальной окружности, т.е. окружности в отсутствие поглощения (на рис. 1б и 1в правая половина этой окружности по-прежнему изображена пунктирной линией, левая половина — линией, составленной из точек, как на рис. 1а). Подобная ситуация практически не изменяется при задании других значений k_1''/k_0 .

Во втором случае при фиксированном $k_0 R = 2\pi/128$ варьировалась действительная часть k_1' волнового числа $k_1 = k_1' + 0.15ik_0$, т.е. поглощение на расстоянии, равном линейному размеру цилиндра, было фиксированным ($k_1'' R = 0.15k_0 R$ фиксировано в силу фиксирования $k_0 R$). Тогда точка, изображающая коэффициент β^+ , двигается при $k'/k_0 \in [1; +\infty)$ по скручивающейся спирали (рис. 1в) с полюсом в точке $\approx 1.64 - 0.85i$ (это значение зависит только от значения $k_0 R = 2\pi/128$).

Таким образом, монополярные рассеиватели малого волнового размера могут описываться единственным коэффициентом рассеяния β^+ . Возможные значения этого коэффициента на комплексной плоскости лежат внутри круга, а в отсутствие поглощения — на его границе.

Исследование выполнено за счет гранта Российского научного фонда № 19-12-00098.

СПИСОК ЛИТЕРАТУРЫ

1. Буров В.А., Морозов С.А. // Акуст. журн. 2001. Т. 47. № 6. С. 751; Burov V.A., Morozov S.A. // Acoust. Phys. 2001. V. 47. № 6. P. 659.
2. Дмитриев К.В. // Акуст. журн. 2015. Т. 61. № 6. С. 656; Dmitriev K.V. // Acoust. Phys. 2015. V. 61. № 6. P. 623.
3. Дмитриев К.В. // Акуст. журн. 2018. Т. 64. № 2. С. 125; Dmitriev K.V. // Acoust. Phys. 2018. V. 64. № 2. P. 131.
4. Дмитриев К.В. // Изв. РАН. Сер. физ. 2015. Т. 79. № 12. С. 1700; Dmitriev K.V. // Bull. Russ. Acad. Sci. Physics. 2015. V. 79. № 12. P. 1488.
5. Novikov R.G. // Euras. J. Math. Comp. Appl. 2018. V. 6. № 1. P. 52.

6. Буров В.А., Румянцева О.Д. // Акуст. журн. 2003. Т. 49. № 5. С. 590; *Burov V.A., Rumyantseva O.D.* // *Acoust. Phys.* 2003. V. 49. № 5. P. 496.
7. Бадалян Н.П., Буров В.А., Морозов С.А., Румянцева О.Д. // Акуст. журн. 2009. Т. 55. № 1. С. 3; *Badalyan N.P., Burov V.A., Morozov S.A., Rumyantseva O.D.* // *Acoust. Phys.* 2009. V. 55. № 1. P. 1.
8. <https://hal.archives-ouvertes.fr/hal-01570494>.
9. *Novikov R.G.* // *Phys. Lett. A.* 1998. V. 238. № 2–3. P. 73.
10. Новиков Р.Г. // Тр. Матем. инст. им. В.А. Стеклова. Солитоны, геометрия, топология — на перекрестках. 1999. Т. 225. С. 301; *Novikov R.G.* // *Proc. V.A. Steklov Inst. Math.* 1999. № 2(225). P. 285.
11. Буров В.А., Алексеенко Н.В., Румянцева О.Д. // Акуст. журн. 2009. Т. 55. № 6. С. 784; *Burov V.A., Alekseenko N.V., Rumyantseva O.D.* // *Acoust. Phys.* 2009. V. 55. № 6. P. 843.
12. Буров В.А., Гришина И.М., Лапшенкина О.И. и др. // Акуст. журн. 2003. Т. 49. № 6. С. 738; *Burov V.A., Grishina I.M., Lapshenkina O.I. et al.* // *Acoust. Phys.* 2003. V. 49. № 6. P. 627.
13. Буров В.А., Вечерин С.Н., Морозов С.А., Румянцева О.Д. // Акуст. журн. 2010. Т. 56. № 4. С. 516; *Burov V.A., Vecherin S.N., Morozov S.A., Rumyantseva O.D.* // *Acoust. Phys.* 2010. V. 56. № 4. P. 541.
14. Бабич В.М., Капилевич М.Б., Михлин С.Г. и др. *Линейные уравнения математической физики. Справочная математическая библиотека.* М.: Наука, 1964. 368 с.